

## I Z V E Š T A J

### o izvršenom merenju kvaliteta električne energije

Objekat:	Pumpna stanica "Kula"
Naručilac:	Elektroremont a.d. Subotica
Predmet:	Merenje i analiza kvaliteta električne energije elektromotornog pogona upronjenog pumpnog agregata tipa: 3.35 UVZ 60-340; 340kW, 940°/min, nakon prvog puštanja po izvršenom remontu pumpnog agregata.
Datum merenja:	27.6.2018.

Merenje je izvršeno mrežnim analizatorom Socomec Diris A40 sa softverom "Sca Energy v.1.2.3.9", uz korišćenje pomoćne merne opreme koja se sastoji od tri rasklopiva merna stružna transformatora tipa: CP58 Elmark, 600/5A, 120%, 10VA, Ith=120xIn, k.l. 0.5, 0.72/3kV.

Rezolucija snimanja mrežnog analizatora je podešena na 2s.

Pumpnim agregatom upravlja frekventni regulator Unifrem (Vonsch - Slovačke) 400 315kW sledeće karakteristika:

- $P_{nom}=315\text{ kW}$ ,  $In=580\text{ A}$ ,  $Imax=In+7\%$
- ulazni napon  $3x380-415\text{ V} \pm 10\%$
- ulazna učestanost  $47-63\text{ Hz}$
- izlazni napon  $3x0-100\%$  od ulaznog napona
- izlazna frekvencija  $0-500\text{ Hz}$
- stepen iskorišćenja  $98.5\%$ .
- elektronska zaštita: prekostrujna, prenaponska, podnaponska, kratkospojna, zemljospojna,
- temperaturna zaštita konvertora, temperaturana zaštita elektromotora
- eliminacija viših harmonijskih izobličenja napona i struja: ugrađena trofazna prigušnica za smanjenje harmonijskih izobličenja napona i struje,
- ugrađena prenaponska zaštita konvertora,
- zaštita kondenzatora snage.

Nakon pripremnih radnji izvršena su merenja sa sledećim redosledom:

1. Probno puštanje pumpe u rad radi provere ispravnosti smera obrtanja, koje je izvršeno u ustanovljenom učestanju od  $18\text{ Hz}$  i međufaznim naponom od  $110\text{ VAC}$ , sa faktorom snage  $\cos\phi = 0.23-0.38$ , i harmonijskim izobličenjima struje  $THD(I)=30-80\%$ . Maksimalni međufazni napon na namotajima motora iznosio je  $113.5\text{ V}$ , a izmerena vršna aktivna snaga motora je iznosila  $53.2\text{ kW}$ .

- strana 1 -

2. Nakon verifikovanja pravilnog smera obrtanja, postepeno je povećana izlazna uestanost na frekventnom regulatoru sa 18Hz na 25Hz prijeđenu je od strane dežurnog rukovaoca - operatera izvršena provera stabilnosti rada pumpnog agregata.
3. U daljem postupku je povećana izlazna uestanost na 48.16Hz, izmerene su sledeće vrednosti međufaznih naponi: L1-L2=401.9VAC; L2-L3= 402VAC i L3-L1=401.7VAC.

Detaljan prikaz izmerenih veličina posle 90 minuta rada dat je u tabeli 1.

Srednje struje(A)	Max struje (peak) (A)	Trenutne struje (A)	Napon (V)	Maksimalni napon (V)		
630.0	630.2	630.2	401.9	408.6		
647.8	648.3	647.7	402	410.3		
644.6	644.7	644.7	401.7	408.2		
$\cos =0.725$		frekvencija=48.16Hz	Vršna aktivna snaga= 342.3kW			
Energija aktivna 123kWh		Aktivna snaga 340.1kW				
Energija reaktivna 114kVArh		Reaktivna snaga 323 kVAr				
Radnih sati 1.5h		Pravidna snaga 469.1kVA				
THD (I) ukupno 1:		6.6%				
THD (I) ukupno 2:		6.7%				
THD (I) ukupno 3:		6.5%				

Tabela 1.

4. U dogovoru sa investitorom, operater je smanjio uestanost i međufazni napon na motoru za 10% i time smanjio snagu elektromotora za 10%.

Detaljan prikaz izmerenih veličina posle 144 minuta rada dat je u tabeli 2.

Srednje struje(A)	Max struje (peak) (A)	Trenutne struje (A)	Napon (V)	Maksimalni napon (V)		
588.7	630.2	588.7	387.1	408.6		
606.9	648.3	607.0	387.3	410.3		
603.6	644.7	604.0	386.9	408.2		
$\cos =0.726$		frekvencija=46.54Hz	Vršna aktivna snaga= 307.2kW			
Energija aktivna 305kWh		Aktivna snaga 307kW				
Energija reaktivna 288kVArh		Reaktivna snaga 288.9 kVAr				
Radnih sati 2.4h		Pravidna snaga 422.3kVA				
THD (I) ukupno 1:		6.5%				
THD (I) ukupno 2:		6.6%				
THD (I) ukupno 3:		6.4%				

Tabela 2.

5. Motor je radio još 30 minuta, nakon čega je dežurni rukovalac - operater isključio pumpu iz rada, i izvršio otklanjanje svih vrednosti koje su prikazane na HMI panelima sistema za automatsko upravljanje postrojenjem.

- strana 2 -

**Zaklju ak:**

Frekventni regulator koji služi za upravljanje elektromotornim pogonom pumpe, poseduje integriranu zaštitu od pojave visokih harmonijskih izobli enja napona i struje, ali nakon o itanih rezultata dolazi se do zaklju ka da je potrebno izvesti kompenzaciju reaktivne energije sa kondenzatorskim baterijama za napon 440/480V i ugra enim prigušnicama 400/415V, 50Hz, sa ugo enom frekvencijom 215Hz i redom uga anja 4.3.

Napomena: U postoje em razvodnom postrojenju koje napaja ispitivani elektromotorni pogon ne postoji ure aj za kompenzaciju reaktivne energije.

Poznato je da više harmoni ne komponente napona uve avaju gubitke u gvož u u magnetnom jezgru transformatora i elektromotora. Više harmoni ne komponente struje pove avaju gubitke, tj. grejanje, usled gubitaka u bakru i gubitaka usled pove anja fluksa rasipanja.

Sve navedeno, a posebno pove anje brzine promene napona, tj. dv/dt, dovodi do pove anog naprezanja izolacije namotaja na transformatoru. Mikro vibracije dinamo limova se pove avaju zbog prisustva viših harmonika, što se prime uje kao pove anje buke, tj. zujuanja transformatora. Gubici usled vrtložnih struja pove avaju se sa kvadratom struje u provodniku i sa kvadratom njihove u estanosti.

Zna i, ako struja optere enja sadrži 20% struje 5. harmonika (što je est slu aj u praksi), dodatni gubici usled vrtložnih struja e biti  $5^2 \times 0,2^2$ , tj. ukupni gubici usled vrtložnih struja e se udvostru iti.

Sli no kao i kod transformatora, harmoni na izobli enja napona i struje pove avaju elektri ne gubitke u elektromotoru i dovode do pove anog grejanja, zbog dodatnih gubitaka u bakru statorskog i rotorskog namotaja, te gubitaka u gvož u (histerezis i vrtložne struje).

Ovi gubici se dalje uve avaju usled skin efekta koji postaje primetan na u estanostima iznad 300 Hz. Magnetno polje usled rasipanja, koje izazivaju višeharmoni ne struje statora i rotora na ivicama namotaja, stvara dodatne gubitke.

Prekomerno grejanje dovodi do degradacije svojstava masti za podmazivanje i na kraju i do havarije ležaja. Prekomerno grejanje predstavlja važan faktor za ograni enje životnog veka motora. Za svakih 10°C porasta temperature iznad propisane, životni vek izolacionog materijala se smanjuje za 50%.

- strana 3 -

U tabeli 3. prikazan je maksimalni dozvoljeni procentualni nivo harmonika napona (procenti su izraženi u odnosu na osnovni harmonik) u niskonaponskoj NN, srednjenaponskoj SN i visokonaponskoj VN mreži. Dozvoljeni nivo naponskih harmonika u distributivnoj i prenosnoj mreži prema standardu IEC 6100-2-2

Neparni harmonici						Parni harmonici		
red harmonika h	nije multipl broja 3		multipl broja 3		red harmonika h	parni harmoniki napona (%)		
	NN – SN	VN	red harmonika h	harmonik napona (%)		NN – SN	VN	
5	6	2	3	5	2	2	2	2
7	5	2	9	1.5	1	4	1	1
11	3.5	1.5	15	0.3	0.3	6	0.5	0.5
13	3	1.5	21	0.2	0.2	8	0.5	0.5
17	2	1	h > 25	0.2	0.2	10	0.2	0.5
19	1.5	1				12	0.2	0.2
23	1.5	0.7				h > 12	0.2	0.2
25	1.5	0.7						
h > 25	0.2 + 1.3 · $\frac{25}{h}$	0.2 + 0.5 · $\frac{25}{h}$						

Tabela 3.

Klasifikacija niskonaponskih sistema i dozvoljena harmonijska izobličenja napona prema IEEE 519.

U tabeli 4 prikazan je izvod iz standarda IEEE 519-1992 kojim se definiše maksimalni dozvoljeni nivo strujnih harmonika koje neki potrošači sme injektirati u distributivnu mrežu. Ovim standardom takođe je definisano maksimalno dozvoljeno ukupno harmonijsko izobličenje (THD – Total Harmonic Distortion) struje potrošača.

	Specijalne aplikacije (1)	Generalni sistemi	Zasebni sistemi (2)
Ukupno THD (V)	3%	5%	10%

Tabela 4.

- (1) - Specijalne aplikacije uključuju bolnice i aerodrome  
 (2) - Zasebni sistemi su isključivo posvećeni ispravljanju opterećenja

Tabela 5. maksimalne dozvoljene vrednosti neparnih harmonika struje prema IEEE 519-1992 za potrošače priključene na distributivnu mrežu (120V-63kV)

Vrednosti parnih harmonika su ograničene na 25% vrednosti neparnih harmonika datih u tabeli 5.

Iks/ lavmax	h<11	11 <h>17</h>	17 <h>23</h>	23 <h>35</h>	35 <h>THD</h>
<20	4	2	1.5	0.6	0.3 5
20-50	7	3.5	2.5	1	0.5 8
50-100	10	4.5	4	1.5	0.7 12
100-1000	12	5.8	5	2	1 15
>1000	15	7.9	6	2.5	1.4 20

Tabela 5.

- strana 4 -

$h$  – red pojedina nih neparnih harmonika struje u prilju nom vodu potroša a na distributivnu mrežu EES-a;

$I_{ks}$  – efektivna vrednost struje kratkog spoja u voru distributivne mreže na mestu priklju enja potroša a;

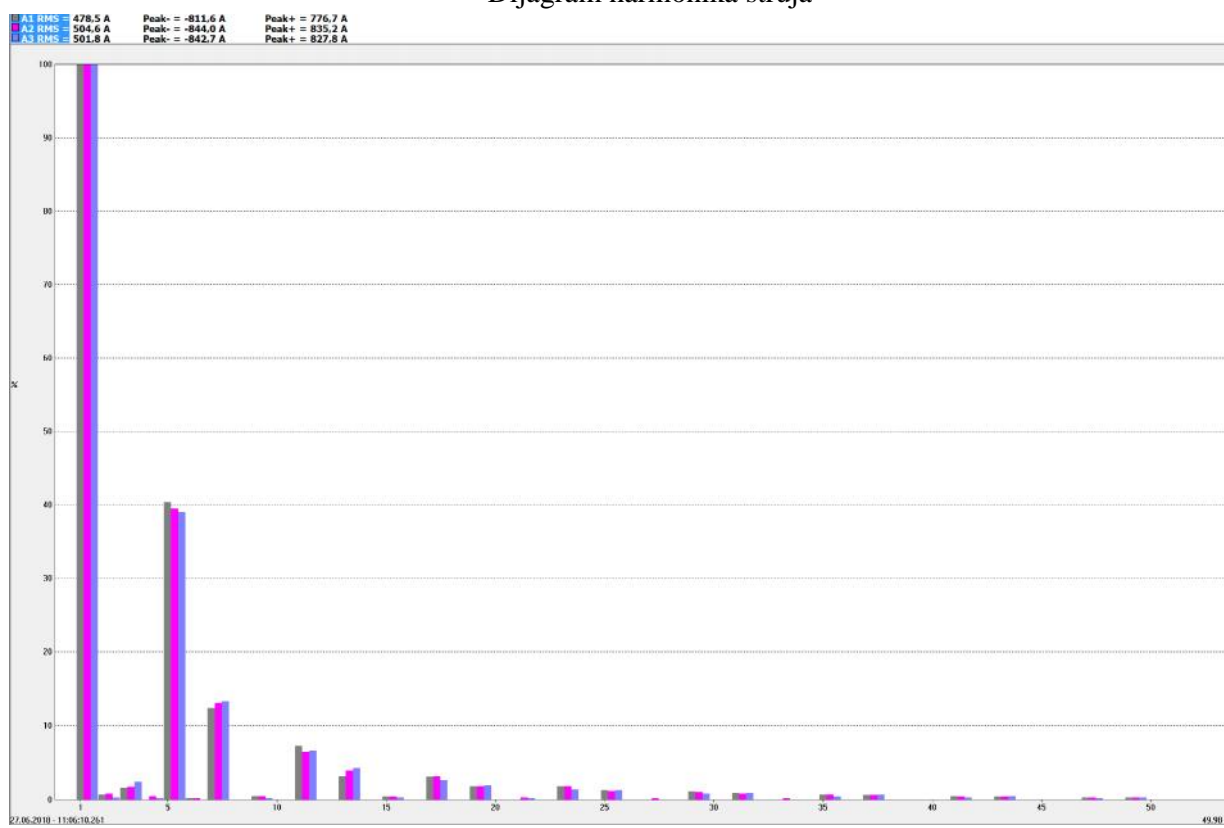
$I_{avmax}$  - prose na maksimalna efektivna vrednost struje osnovnog harmonika potroša a.

Naš slu aj je uzimaju i u obzir vrednosti iz tabele 5. i slu aj gde je  $I_{ks} I_{avmax} = 20 \div 50$ , a ukupan THD(I)<8%.

Merenjem smo dobili rezultat THD(I)=6.6%, što dovodi do zaklju ka je nivo harmonijskih izobli enja struje u dozvoljenim granicama.

Merenjem harmonijskih izobli enja struja u toku punog optere enja neposredno do izvora izobli enja odnosno frekventnog regulatora, dobili smo rezultate prikazane na dijagramu (slika 1.) i u tabeli 6.

Dijagram harmonika struja



Slika 1.

Viši harmonici struje u odnosu na osnovni harmonik (I2) izraženi u procentima

	(%)		(%)		(%)		(%)
H01	100.0	H15	0.3	H29	1.7	H43	0.4
H02	1.2	H16	0.0	H30	0.0	H44	0.4
H03	2.0	H17	3.5	H31	1.5	H45	0.0
H04	0.5	H18	0.0	H32	0.0	H46	0.0
H05	39.2	H19	2.2	H33	0.2	H47	0.3
H06	0.1	H20	0.0	H34	0.0	H48	0.0
H07	13.0	H21	0.3	H35	1.1	H49	0.2
H08	0.0	H22	0.0	H36	0.0	H50	0.0
H09	0.5	H23	2.4	H37	0.9		
H10	0.0	H24	0.0	H38	0.0		
H11	7.0	H25	1.8	H39	0.0		
H12	0.0	H26	0.0	H40	0.0		
H13	4.0	H27	0.2	H41	0.5		
H14	0.0	H28	0.0	H42	0.0		

Tabela 6.

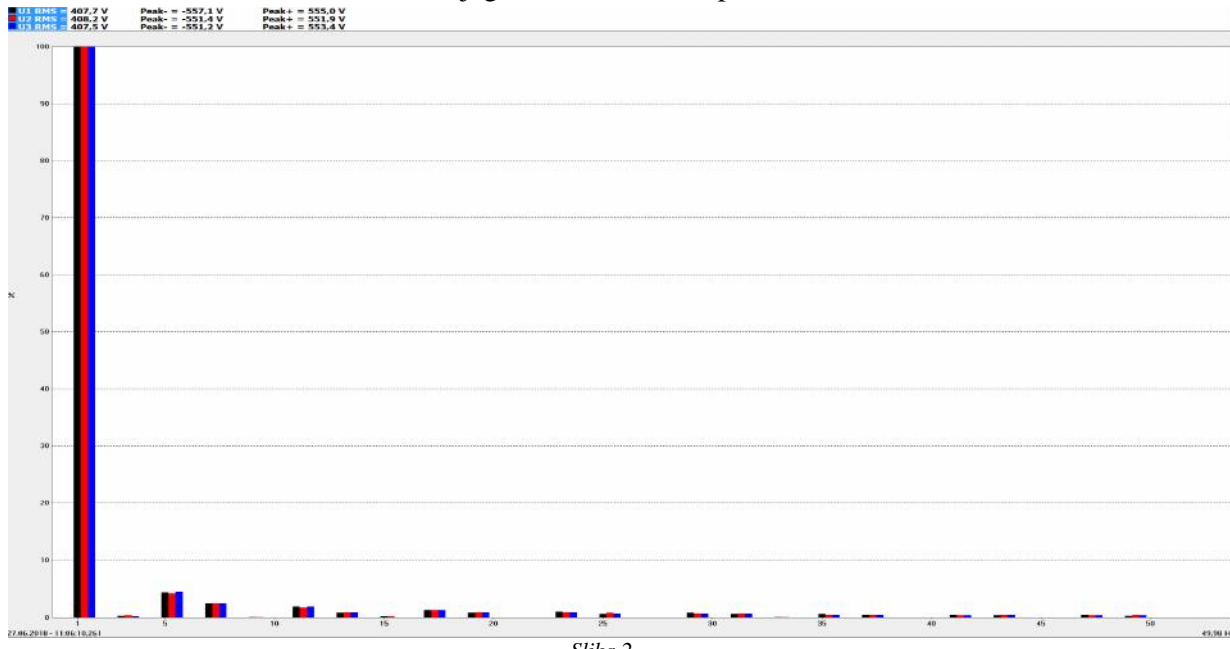
Na osnovu podataka sa slike 1. i tabele 6. može se izračunati ukupno harmonijsko izoblikovanje talasnog oblika struje na sekundarnim priključnim vodovima napojnog transformatora:

$$THD(I) = \sqrt{\sum_{i=2}^{50} I_{hi}^2} / I_1 = 42.55\%$$

**Harmonijska izoblikovanja struje i odgovarajući THD su iznad propisanih vrednosti za rad ak i u mreži sa vrlo velikom snagom kratkog spoja (krutoj mreži).**

Daljim merenjem harmonijskih izobličenja napona u toku punog opterećenja, dobili smo rezultate prikazane na dijagramu (slika 2.) i u tabeli 7.

Dijagram harmonika napona



Slika 2.

Viši harmonici napona u odnosu na osnovni harmonik (U2) izraženi u procentima

	(%)		(%)		(%)		(%)
H01	100.0	H15	0.2	H29	0.5	H43	0.3
H02	0.0	H16	0.0	H30	0.0	H44	0.0
H03	0.3	H17	1.2	H31	0.5	H45	0.0
H04	0.0	H18	0.0	H32	0.0	H46	0.0
H05	4.2	H19	0.8	H33	0.1	H47	0.3
H06	0.0	H20	0.0	H34	0.0	H48	0.0
H07	2.7	H21	0.0	H35	0.4	H49	0.3
H08	0.0	H22	0.0	H36	0.0	H50	0.0
H09	0.1	H23	0.8	H37	0.3		
H10	0.0	H24	0.0	H38	0.0		
H11	2.0	H25	0.6	H39	0.0		
H12	0.0	H26	0.0	H40	0.0		
H13	0.9	H27	0.0	H41	0.3		
H14	0.0	H28	0.0	H42	0.0		

Tabela 7.

- strana 7 -

Na osnovu podataka iz tabele 7. može se izračunati ukupno harmonijsko izoblik enje talasnog oblika napona agregata:

$$THD(V) = \sqrt{\sum_{i=2}^{50} V_{hi}^2} / V_1 = 5.83\%$$

$V_{hi}$  – efektivna vrednost i-tog harmonika faznog napona,

$V_1$  – efektivna vrednost osnovnog harmonika faznog napona.

Harmonijska izoblik enja napona su povećana u odnosu na propisanu vrednost (5%), (vidi tabelu 4).

**Opšti zaključak nakon kompletne analize izmerenih vrednosti sa stanovišta harmonijskih izoblik enja i primene validnih standarda je, da je jedno od rešenja ugradnja filtera viših harmonijskih struje.** Frekventni regulator koji se koristi u elektromotornom pogonu je direktni pretvarač (bez promenljivog ili konstantnog međukola), zbog čega se na njegovom izlazu javljaju prevelika harmonijska izoblik enja struje i napona.

Ugradnja odgovarajućih filtera bi omogućila dostizanje odgovarajućih standarda za rad potrošača na mreži, što u prespektivi daje pozitivan finansijski efekat. Smanjenje nivoa harmonika bi tako obezbedilo i povoljnije uslove rada elektromotora i proizvodnje njegovog eksploracionog veka.

Ugradnja filterskog postrojenja, međutim, iziskuje prethodnu izradu projekta sa detaljnim proračunom vrednosti kondenzatorskih baterija i odgovarajućih prigušnica, što je ekonomski velika investicija.

**Umesto toga, mišljenja smo da bi postojeći frekventni regulator trebalo koristiti kao "upuštač" elektromotornog pogona i nakon dovođenja pumpe na nominalni broj obrtaja trebalo bi ga prespojiti odgovarajućim Bypass kontaktorom. Naravno i ovo rešenje iziskuje određena finansijska ulaganja, ali znatno manja od izrade filterskog postrojenja.**

Ujedno bi trebalo izraditi uređaj za automatsku kompenzaciju reaktivne energije koja bi se uključivala nakon dovođenja pumpe u nominalni broj obrtaja, odnosno nakon uključenja Bypass kontaktora, što bi znatno smanjilo troškove razine za utrošenu reaktivnu energiju.

**Skreemo pažnju da se pri postoje im mrežnim parametrima (uve ani viši harmonici napona i struje) znatno smanjuje eksploracioni vek elektromotora pumpnog agregata.**

**To je naro ito važno za ostvarivanje prava na garanciju u punom trajanju za izvršene popravke elektromotora.**

U Nišu, 21. 7. 2018. god.

Izveštaj sastavio  
Dejan Mitić inž. el.  
odgovorni izvođač radova



Izveštaj overio  
Marko Mihajlović dipl. inž. el.  
odgovorni izvođač radova

